



Fotografía 1.- Apilamiento de coladas basálticas atravesadas por diques del tramo inferior de la F. miocena, en el acantilado al E. de Gran Tarajal. MIOCENO



Fotografía 10.- Aspecto de las brechas, tipo "debris-avalanche", en la trinchera de la crtra. a La Lajita. **MiocENO**



Fotografía 11.- Detalle de las brechas de la fotografía anterior. MIOCENO



Fotografía 12.- Aspecto de las brechas de la base en el Morro de Sise, (ver fotografía nº 9). **MIOCENO**



Fotografía 13.- Detalle de un dique (d) truncado que atraviesa los materiales miocenos del tramo inferior, y no sigue en los sedimentos conglomeráticos (s), la dera norte del Caracol. **Mioceno**



Fotografía 14.- Detalle de los sedimentos conglomeráticos de la fotografía anterior. La-  
dera norte del Caracol. **MIOCENO**



Fotografía 15.- Detalle de un dique con disyunción esferoidal al NE. de Gran Tarajal.  
**MIOCENO**



Fotografía 16.- Panorámica de diques atravesando las coladas de la F. basáltica miocena en la divisoria de Piedras Caídas. **MIOCENO**



Fotografía 17.- Coladas "pahoehoe" de composición basáltica plagioclásica, en la base, y de tipo afanítico, al techo. Acantilado costero junto a La Lajita, de la F. miocena **MIOCENO**



Fotografía 18.- Detalle de la colada de basaltos plagioclásicos de la fotografía anterior.  
**MIOCENO**



Fotografía 19.- Otro aspecto de las coladas "pahoehoe" de basaltos plagioclásicos con formas seudoesferoidiales de alteración. **MIOCENO**



Fotografía 2.- Panorámica de los diques básicos atravesando las coladas del tramo inferior de la F. basáltica miocena. Acantilado costero al E. de Gran Tarajal.  
**MiocENO**



Fotografía 20.- Detalle de un dique que se "abre" en colada en las proximidades de La Lajita. MIOCENO



Fotografía 21.- Aspecto festoneado característico de las coladas basálticas del tramo medio de la F. miocena. Ladera O. del valle de Tarajalero. **MIOCENO**



Fotografía 22.- Otro aspecto de las coladas del tramo medio de la F. miocena, con "descuegues" locales. Ladera E. de Tisajorey. **MIOCENO**



Fotografía 23.- Panorámica del barranco de Tisajorey. Coladas basálticas del tramo medio y superior de la F. miocena. **MIOCENO**



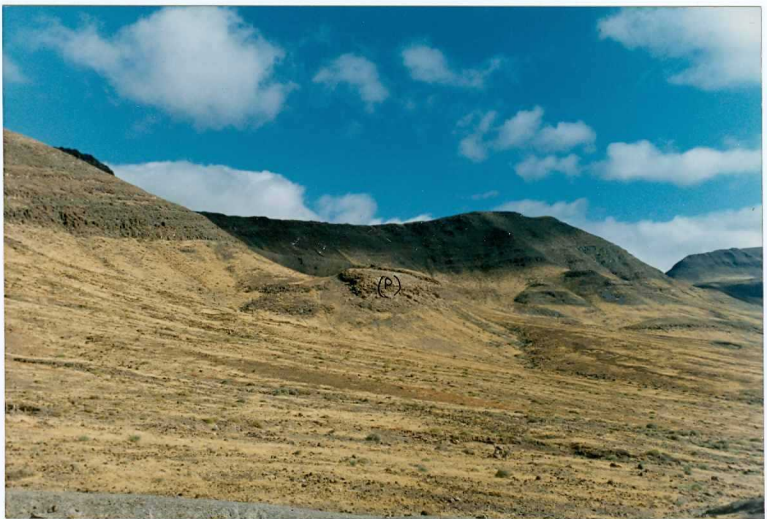
Fotografia 24.- Discordancia en el Morro de Diego Viejo. En la base coladas alteradas del tramo inferior de la F. basáltica miocena y al techo planchón discordante de los episodios tardíos. Miocene



Fotografía 25.- En primer término, planchón discordante de los episodios tardíos sobre unos sedimentos conglomeráticos en "Morretes Negros". Al fondo apilamiento de coladas de los tramos medio y superior. Ladera O. del Caracol. **MiocENO**



Fotografía 26.- Detalle de una colada basáltica con acumulados duníticos (a) y grandes piroxenos. **MIOCENO**



Fotografía 27.- Panorámica, de la ladera NO. del barranco del Tarajal, hacia la degollada de Sise. Planchones discordantes (p) adosados al paleorrelieve mioceno.  
**MIOCENO**



Fotografía 28.- Contacto entre las coladas basálticas del tramo medio de la F. miocena y los depósitos conglomeráticos pliocenos en la desembocadura del barranco del Aceituno. **PLIOCENO**



Fotografía 29.- Panorámica de los sedimentos conglomeráticos pliocenos sobre las coladas miocenas en la Punta Rincón del Camello. En la playa se observa una pequeña rasa holocena ("erbanense"). **PLIOCENO**



Fotografía 3.- Apilamiento de coladas basálticas del tramo inferior de la F. miocena con almagres y escorias intercaladas. En el tercio superior de la fotografía se observan depósitos de ladera (C) cortados por el acantilado. Cuchillo de Piedras Caidas. MIOCENO



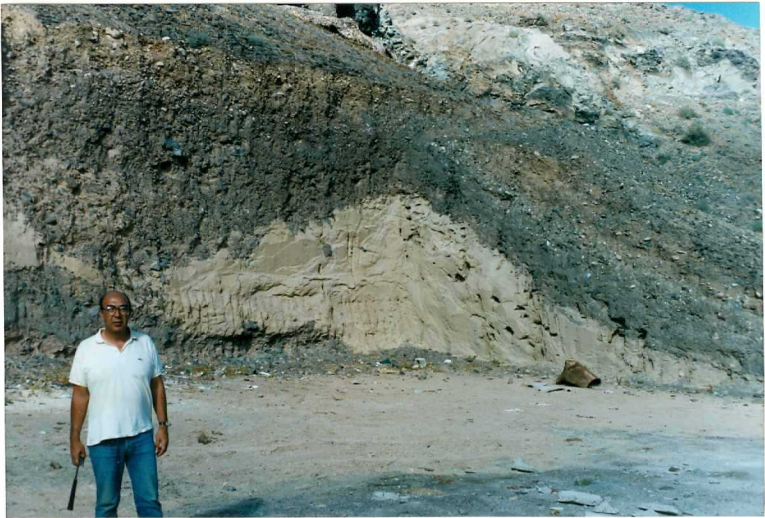
Fotografía 30.- Panorámica de los depósitos de glacis-cono adosados al relieve mioceno de la Mña. del Caracol. CUATERNARIO



Fotografía 31.- Aspecto de la rasa marina "jandiense" en la Punta Laja del Corral.  
**CUATERNARIO**



Fotografía 32.- Detalle de la rasa marina "jandiense" en la Punta Laja del Corral.  
**CUATERNARIO**



Fotografía 33.- Depósito de arenas eólicas pliocenas bajo coluviones en las proximidades de Giniginámar. PLIOCENO



Fotografía 34.- Panorámica de los depósitos aluviales y de terrazas en el barranco de Gran Tarajal. **CUATERNARIO**



Fotografía 35.- En primer término, playa del Caracol. Al fondo, apilamiento de coladas basálticas de los tramos medio y superior de la F. miocena. **MIOCENO**



Fotografía 4.- Panorámica del apilamiento de coladas basálticas atravesadas por abundantes diques en el Cuchillo de Piedras Caidas. MiocENO



Fotografía 5.- Panorámica de la Punta de la Galera - Mña. de Cardón. Apilamiento de coladas basálticas del tramo medio y superior de la F. miocena y materiales de recubrimiento, depósitos de ladera y glacis. **MIOCENO**



Fotografía 6.- Panorámica de la playa y barranco del Aceituno. En la parte derecha de la fotografía se observa la discordancia entre el tramo inferior (i) y los tramos medio-superior (m-s) de la F. basáltica miocena. **MiocENO**



Fotografía 7.- Panorámica, vista desde el E, de la discordancia en Morro Negro-Cuchillo de Lapa entre los tramos inferior y medio-superior de la F. miocena. MIOCENO



Fotografía 8.- Panorámica de la discordancia en el barranco del Aceituno entre el tramo inferior (i), buzante y recubierto por depósitos de ladera, y el tramo medio-superior (m-s), subhorizontal. **MIOCENO**



Fotografía 9.- Morro de Sise. Fractura (F) afectando a materiales brechoides (en la base) y al apilamiento de coladas del tramo medio-superior (en el techo) de la F. basáltica miocena. **MIOCENO**